

# BÖLÜM 20

## Aort Yetersizliği ve Ekokardiyografi

Zeynep ULUTAŞ<sup>1</sup>

### AORT KAPAK ANATOMİSİ

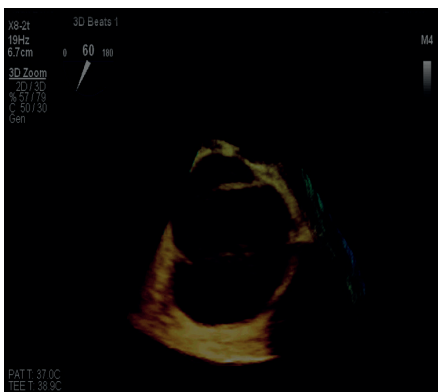
Aort kapağının patolojisini anlamak için, kapağın normal anatomsisini bilmek çok önemlidir Anatomik olarak aort kapağı, sol ventrikül çıkış yolu ile aortun tübüler kısmı arasında bulunur (1). Normal aort kapağının sağ, sol ve non-koroner üç küspisi vardır. Küspisler kabaca benzer boyuttadır. Yetişkinlerde ortalama küspis genişliği 25-26 mm'dir (2). Küspisler komissürlerle ayrılır. Her küspisin aort duvarına yapışan bir tabanı ve bir serbest kenarı vardır. Kapak kapandığında serbest kenarlar bir araya gelir ve koaptasyon olur (1).

Kapağın serbest kenarı ile kapanma hattı arasında fazlalık bir yüzey vardır. Burada insidental yatay defektler veya fenestrasyonlar görülebilir. Her küspisin ventriküler tarafında, kapanma çizgisi boyunca ortada, Arantius'un nodülü olarak bilinen merkezi bir nodül vardır. Yaşıla birlikte fenestrasyonlar, Arantius nodülleri ve Lambl çıkıntısı daha belirgin hale gelebilir ancak tipik olarak klinik önemi yoktur (1).

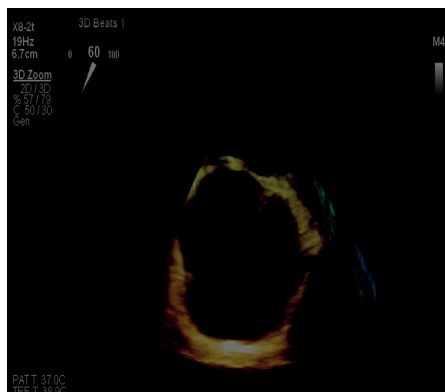
### ETİYOLOJİ

Aort yetersizliği (AY), aort kapağındaki veya aort kökündeki anormalliklerin sonucunda gelişebilir. AY mekanizmaları arasında aort kapak anulusunun dilatasyonu, küspis prolapsusu, küspislerin skarla retraksiyonu ve küspis perforasyonu yer alır (3). AY'nin küspislerle ilgili nedenleri arasında post inflamatuar kapak

<sup>1</sup> Dr. Öğr. Üyesi, İnönü Üniversitesi, Tıp Fakültesi Kardiyoloji AD., zeynep.ulutas@inonu.edu.tr,  
ORCID iD: 0000-0001-6078-7480



**Şekil 10.** Biküspit aort kapak üç boyutlu ekokardiyografi



**Şekil 11.** Biküspit aort kapağı üç boyutlu ekokardiyografisi

## SONUÇ

AY'nın ekokardiyografik değerlendirmesi aort kökü, aort kapağı ve sol ventrikülün 2B/3B görüntülemesinin yanı sıra yetersizlik şiddetinin Doppler ölçümlerini içeren bütünlendirici yaklaşım olmalıdır. Ölçümü için hem VK genişliği hem de PISA yöntemi tercih edilen parametrelerdir. Ek parametreler, AY'nın ciddiyeti hakkında konsolide olmaya yardımcı olur. KMR alternatif bir yöntemdir ve TTE ile TÖE sonuçları tatmin edici olmadığından veya yetersiz olduğunda veya AY şiddeti ile klinik bulgular arasında tutarsızlık olduğunda kullanılmalıdır (16).

## KAYNAKLAR

1. Fishbein GA, Fishbein MC. Pathology of the Aortic Valve: Aortic Valve Stenosis/Aortic Regurgitation. *Curr Cardiol Rep.* 2019; 21:81.
2. Vollebergh FEMG, Becker AE. Minor congenital variations of cusp size in tricuspid aortic valves possible link with isolated aortic stenosis. *Br Heart J.* 1977;39: 1006–1011.
3. Olson LJ, Subramanian R, Edwards WD. Surgical pathology of pure aortic insufficiency: a study of 225 cases. *Mayo Clin Proc.* 1984; 59:835–841.
4. Edwards JE. Lesions causing or simulating aortic insufficiency. *Cardiovasc Clin.* 1973; 5:127–148.
5. Iung B, Delgado V, Rosenhek R, et al. Contemporary presentation and management of Valvular Heart Disease: the EURObservationalresearch Programme Valvular heart disease II survey. *Circulation*. 2019;140:1156-1169.
6. Khoury G, Glineur D, Rubay J, et al. Functional classification of aortic root/valve abnormalities and their correlation with etiologies and surgical procedures. *Curr Opin Cardiol.* 2005; 20:115-121.
7. Ma W-G, Zheng J, Zhu J-M, et al. Aortic regurgitation caused by Behcet's disease: surgical experience during an 11-year period. *J Card Surg.* 2012; 27:39–44.



8. Bulkley BH, Roberts WC. Ankylosing spondylitis and aortic regurgitation. Description of the characteristic cardiovascular lesion from study of eight necropsy patients. *Circulation*. 1973; 48:1014–1027.
9. Waller BF, Howard J, Fess S. Pathology of aortic valve stenosis and pure aortic regurgitation: a clinical morphologic assessment—part II. *Clin Cardiol*. 1994; 17:150–156
10. Castillo FJ, Anguita M, Castillo JC, et al. Changes in clinical profile, epidemiology and prognosis of left-sided native-valve infective endocarditis without predisposing heart conditions. *Rev Esp Cardiol (Engl Ed)*. 2015;68:445–448.
11. Pearson GD, Devereux R, Loeys B, et al. Report of the National Heart, Lung, and Blood Institute and National Marfan Foundation Working Group on research in Marfan syndrome and related disorders. *Circulation*. 2008; 118:785–791.
12. Allen WM, Matloff JM, Fishbein MC. Myxoid degeneration of the aortic valve and isolated severe aortic regurgitation. *Am J Cardiol*. 1985; 55:439–444.
13. Siani A, Perone F, Costantini P, et al. Aortic regurgitation: A multimodality approach. *J Clin Ultrasound*. 2022; 50:1041–1050.
14. Zoghbi WA, Adams D, Bonow RO, et al. Recommendations for noninvasive evaluation of native Valvular regurgitation: a report from the American Society of Echocardiography developed in collaboration with the Society for Cardiovascular Magnetic Resonance. *J Am Soc Echocardiogr*. 2017; 30:303–371.
15. Maurer G. Aortic regurgitation. *Heart*. 2006; 92:994–1000.
16. Lancellotti P, Pibarot P, Chambers J, et al. Multi-modality imaging assessment of native valvular regurgitation: an EACVI and ESC council of valvular heart disease position paper. *Eur Heart J Cardiovasc Imaging*. 2022;23: 171-232.
17. Eren M, Eksik A, Gorgulu S, et al. Determination of vena contracta and its value in evaluating severity of aortic regurgitation. *J Heart Valve Dis*. 2002;11:567–575.
18. Perry GJ, Helmcke F, Nanda NC, et al. Evaluation of aortic insufficiency by Doppler color flow mapping. *J Am Coll Cardiol*. 1987;9:952–959.
19. Tribouilloy CM, Enriquez-Sarano M, Bailey KR, et al. Assessment of severity of aortic regurgitation using the width of the vena contracta: a clinical color Doppler imaging study. *Circulation* 2000; 102:558–64.
20. Tribouilloy C, Avine 'e P, Shen WF, et al. End diastolic flow velocity just beneath the aortic isthmus assessed by pulsed Doppler echocardiography: a new predictor of the aortic regurgitant fraction. *Br Heart J* 1991; 65:37–40.
21. Lang RM, Badano LP, Mor-Avi V, et al. Recommendations for cardiac chamber quantification by echocardiography in adults: an update from the American Society of Echocardiography and the European Association of Cardiovascular Imaging. *Eur Heart J Cardiovasc Imaging*. 2015;16:233–270.
22. Samstad SO, Hegrenaes L, Skjaerpe T, et al. Half time of the diastolic aortoventricular pressure difference by continuous wave Doppler ultrasound: a measure of the severity of AR? *Br Heart J* 1989; 61:336–343
23. Griffin BP, Flachskampf FA, Siu S, et al. The effects of regurgitant orifice size, chamber compliance, and systemic vascular resistance on aortic regurgitant velocity slope and pressure half-time. *Am Heart J* 1991; 122:1049–1056.
24. Debl K, Djavidani B, Buchner S, et al. Assessment of the anatomic regurgitant orifice in aortic regurgitation: a clinical magnetic resonance imaging study. *Heart* 2008; 94: 8.
25. Pouleur AC, de Waroux JB, Goffinet C, et al. Accuracy of the flow convergence method for quantification of aortic regurgitation in patients with central versus eccentric jets. *Am J Cardiol* 2008;102: 475–480.
26. Lang RM, Badano LP, Tsang W, et al.; European Association of Echocardiography. EAE/ASE recommendations for image acquisition and display using three-dimensional echocardiography. *Eur Heart J Cardiovasc Imaging* 2012; 13:1–46.

27. Yosefy C, Levine RA, Solis J, et al. Proximal flow convergence region as assessed by real-time 3-dimensional echocardiography: challenging the hemispheric assumption. *J Am Soc Echocardiogr.* 2007; 20:389-396.
28. Myerson SG, d'Arcy J, Mohiaddin R, et al. Aortic regurgitation quantification using cardiovascular magnetic resonance: association with clinical outcome. *Circulation* 2012; 126:1452-1460.
29. Lee JKT, Franzone A, Lanz J, et al. Early detection of subclinical myocardial damage in chronic aortic regurgitation and strategies for timely treatment of asymptomatic patients. *Circulation* 2018;137: 184-196.
30. Lancellotti P, Pellikka PA, Budts W, et al. The clinical use of stress echocardiography in non-ischaemic heart disease. *Eur Heart J Cardiovasc Imaging* 2016;17: 1191-229.